

01

## Распределение электрического тока в тонком металлическом слое при различных коэффициентах зеркальности на поверхностях

© А.И. Уткин, А.А. Юшканов

Московский государственный областной университет,  
105005 Москва, Россия  
e-mail: aiutkin@yandex.ru

(Поступило в Редакцию 27 апреля 2015 г. В окончательной редакции 1 марта 2016 г.)

Выполнен расчет распределения электрического тока в тонком металлическом слое с учетом различных коэффициентов зеркальности его поверхностей. Проанализирована зависимость функции проводимости от расстояния до нижней поверхности слоя. Использовалось кинетическое уравнение Больцмана в приближении времени релаксации электронов.

### Введение

В настоящее время микроэлектроника, оптоэлектроника и тонкопленочные технологии активно развиваются. Это связано прежде всего с важным прикладным значением тонких, в том числе поликристаллических и металлических, пленок [1–5]. Разумное применение тонких пленок в микро- и оптоэлектронике позволит последним перейти на качественно новый уровень своего развития. Например, тонкие пленки могут использоваться в качестве проводящих, светоотражающих, защитных покрытий. Поэтому к качеству, параметрам и свойствам тонких [6–9] пленок предъявляются довольно высокие требования.

На данном этапе развития тонкопленочных технологий наибольший интерес представляет исследование электромагнитных свойств тонких пленок в различных диапазонах частот [10,11].

Отметим, что в последнее время возрос интерес к учету влияния различных коэффициентов зеркальности на поверхностях пленки на их электрофизические свойства [12,13]. В этих работах рассмотрение было ограничено статическим случаем.

Настоящая работа является продолжением [14]. В этой работе была проанализирована зависимость функции проводимости  $\Sigma$  от частоты внешнего поля и от частоты объемных столкновений электронов с учетом различных коэффициентов зеркальности  $q_1$  и  $q_2$  поверхностей тонкого металлического слоя. Результаты настоящей работы имели хорошее согласование с экспериментальными данными работы [15]. Однако не был рассмотрен важный случай зависимости локальной электрической проводимости от пространственной координаты  $z$  — как локальная проводимость меняется в зависимости от расстояния до поверхности тонкого слоя.

Укажем, что в нашем случае толщина тонкой металлической пленки  $a$  не превышает толщины скин-слоя  $\delta$  и сравнима со средней длиной свободного пробега электронов  $\Lambda$ . Для типичных металлов минимальная толщина скин-слоя  $\delta \sim 100$  nm [16]. Поэтому скин-эффект не учитывается и данная задача допускает аналитическое решение для произвольных граничных условий.

Не учитываются также и квантовые эффекты, поскольку толщина пленки много больше длины волны де Бройля, которая в типичных металлах составляет величину порядка межатомного расстояния. Попытка их учета была предпринята в работе [17] для случая квантовой пленки в диэлектрическом окружении.

### Постановка задачи

Рассмотрим тонкий проводящий слой толщиной  $a$  и коэффициентами зеркальности верхней  $q_1$  и нижней  $q_2$  поверхностей слоя в случае однородного периодического по времени электрического поля  $\mathbf{E}$ . Электрическое поле параллельно проводящему слою и направлено вдоль координатной оси  $X$ , координатная ось  $Z$  направлена вверх, вглубь тонкого слоя.

Однородное периодическое по времени поле меняется по закону

$$\mathbf{E} = \mathbf{E}_0 \exp(-i\omega t).$$

Здесь  $\omega$  — частота переменного электрического напряжения, приложенного к проводящему слою.

Скин-эффект не учитывается. Учет скин-эффекта был рассмотрен в работе [18] в случае тонкой цилиндрической проволоки.

Уточним: когда толщина пленки много больше длины свободного пробега электронов ( $a \gg \Lambda$ ), для решения данной задачи можно воспользоваться макроскопической электродинамикой, применив локальный закон Ома:

$$\mathbf{j} = \Sigma(\omega)\mathbf{E}.$$

Здесь  $\Sigma(\omega)$  — проводимость Друде,  $\mathbf{j}$  — плотность электрического тока.

В случае же, когда толщина пленки сравнима с длиной свободного пробега электронов или меньше ее ( $a \leq \Lambda$ ), макроскопическая электродинамика становится неприменимой, и для решения задачи необходимо применять методы физической кинетики, что мы и делаем в настоящей работе.

## Локальная проводимость

Для получения выражения для локальной электрической проводимости воспользуемся кинетическим уравнением Больцмана в приближении времени релаксации электронов [19]:

$$\frac{\partial f}{\partial t} + v_z \frac{\partial f}{\partial z} + \frac{eE}{m} \frac{\partial f_0}{\partial v_x} = -\frac{f - f_0}{\tau}, \quad (1)$$

$$f_0(\varepsilon) = \frac{1}{\exp((\varepsilon - \mu)/kT) + 1}.$$

Здесь  $f_0(\varepsilon)$ ,  $f$ ,  $e$ ,  $m$ ,  $v_z$ ,  $v_x$ ,  $\tau$  и  $\mu$  — соответственно функция Ферми–Дирака, функция распределения электронов при наличии внешнего электрического поля, заряд электрона, эффективная масса электрона, проекции скорости электронов проводимости, электронное время релаксации и химический потенциал.

Для функции  $f_0(\varepsilon)$  используется ступенчатая аппроксимация

$$f_0 = \Theta(\varepsilon_F - \varepsilon) = \begin{cases} 1, & 0 \leq \varepsilon \leq \varepsilon_F, \\ 0, & \varepsilon_F < \varepsilon. \end{cases}$$

Здесь  $\varepsilon_F = mv^2/2$  — энергия Ферми,  $v_F$  — скорость Ферми. Величина среднего свободного пробега электронов  $\Lambda$  и электронное время релаксации  $\tau$  связаны соотношением  $\Lambda = v_F \tau$ .

Также для энергии  $\varepsilon$  и  $f_0(\varepsilon)$  имеем

$$\varepsilon = \frac{mv^2}{2},$$

$$f_0 = \eta(\varepsilon_F - \varepsilon),$$

$$\eta(x) = \begin{cases} 1, & x > 0, \\ 0, & x < 0, \end{cases}$$

$$\frac{\partial f_0}{\partial v_x} = \frac{\partial f_0}{\partial \varepsilon} \frac{\partial \varepsilon}{\partial v_x} = -\delta(\varepsilon_F - \varepsilon)mv_x.$$

Здесь  $\delta$  — дельта-функция Дирака.

Линеаризируем уравнение (1) по полю  $\mathbf{E}$  и по малым отклонениям  $f_1(z, \mathbf{v})$  от равновесной функции распределения электронов Ферми–Дирака  $f_0(\varepsilon)$ :

$$f(z, \mathbf{v}) = f_0(\varepsilon) + f_1(z, \mathbf{v}).$$

Здесь  $f_1(z, \mathbf{v})$  — малое отклонение от  $f_0(\varepsilon)$ ;  $f(z, \mathbf{v})$  — функция распределения электронов по скоростям при наличии внешнего электрического поля. Тогда уравнение Больцмана в приближении времени релаксации электронов будет иметь вид

$$v_z \frac{\partial f_1}{\partial z} + \frac{eE}{m} \frac{\partial f_0}{\partial v_x} - i\omega f_1 = -\frac{f_1}{\tau}. \quad (2)$$

Общее решение (2) имеет вид

$$f_1(z, \mathbf{v}) = \frac{e\tau E}{m} \frac{\partial f_0}{\partial v_x} \left\{ 1 + \varphi(\mathbf{v}) \exp\left(-\frac{z}{v_z} \left(\frac{1}{\tau} - i\omega\right)\right) \right\}.$$

Функция  $\varphi(\mathbf{v})$  определяется из вида граничных условий на поверхностях металлического слоя. Таким образом, для однозначного определения функции  $f_1$  необходимо задать граничные условия в случае тонкого металлического слоя. В качестве граничных условий на поверхностях слоя будем рассматривать зеркально-диффузные граничные условия [19,20]. Учитывая, что коэффициенты зеркальности поверхностей  $q_1$  и  $q_2$  различны, граничные условия принимают вид

$$f_1(v_z, z = a) = q_1 f_1(-v_z, z = a), \quad v_z > 0,$$

$$f_1(v_z, z = 0) = q_2 f_1(-v_z, z = a), \quad v_z < 0.$$

Функция  $f_1(z, \mathbf{v})$  распадается на две функции:  $f_1^+$  — для электронов, движущихся в направлении оси  $Z$  ( $v_z > 0$ ), и  $f_1^-$  — для всех электронов, движущихся в противоположном направлении оси  $Z$  ( $v_z < 0$ ):

$$\begin{cases} f_1^+(z, \mathbf{v}) = \frac{e\tau E}{m} \frac{\partial f_0}{\partial v_x} \\ \quad \times \left\{ 1 + \varphi^+(\mathbf{v}) \exp\left(-\frac{z}{v_z} \left(\frac{1}{\tau} - i\omega\right)\right) \right\}, & v_z > 0, \\ f_1^-(z, \mathbf{v}) = \frac{e\tau E}{m} \frac{\partial f_0}{\partial v_x} \\ \quad \times \left\{ 1 + \varphi^-(\mathbf{v}) \exp\left(\frac{a-z}{v_z} \left(\frac{1}{\tau} - i\omega\right)\right) \right\}, & v_z < 0, \end{cases} \quad (3)$$

Для удобства введем обозначения

$$\Omega = \frac{a}{v_F} \left(\frac{1}{\tau} - i\omega\right) = x - iy,$$

$$A = \frac{e\tau E}{m} \frac{\partial f_0}{\partial v_x}.$$

Теперь необходимо найти вид функций  $\varphi^+(\mathbf{v})$  и  $\varphi^-(\mathbf{v})$ , которые связаны с движением электронов в направлении оси  $Z$  и в противоположном направлении оси  $Z$ :

$$z = 0, \quad f^+ = q_1 f_1^-(-v_z),$$

$$z = a, \quad f^- = q_2 f_2^+(-v_z).$$

Тогда

$$\begin{cases} 1 + \varphi^+(v_z) = q_1 (1 + \varphi^-(-v_z) \exp(-\Omega)), \\ 1 + \varphi^-(v_z) = q_2 (1 + \varphi^+(-v_z) \exp(-\Omega)). \end{cases} \quad (4)$$

Из выражения (4) находим

$$\varphi^+(v_z) = \frac{q_1 (1 + q_2 \exp(-\Omega)) - (1 + q_1 \exp(-\Omega))}{1 - q_1 q_2 \exp(-2\Omega)},$$

$$\varphi^-(v_z) = \frac{q_2 (1 + q_1 \exp(-\Omega)) - (1 + q_2 \exp(-\Omega))}{1 - q_1 q_2 \exp(-2\Omega)}.$$

Тогда выражение (3) примет вид

$$\left\{ \begin{aligned} f_1^+(z, \mathbf{v}) &= A \left\{ 1 + \frac{q_1(1+q_2 \exp(-\Omega)) - (1+q_1 \exp(-\Omega))}{1 - q_1 q_2 \exp(-2\Omega a)} \right. \\ &\quad \left. \times \exp(-\Omega z) \right\}, \quad v_z > 0 \\ f_1^-(z, \mathbf{v}) &= A \left\{ 1 + \frac{q_2(1+q_1 \exp(-\Omega)) - (1+q_2 \exp(-\Omega))}{1 - q_1 q_2 \exp(-2\Omega a)} \right. \\ &\quad \left. \times \exp\left(-\Omega\left(1 - \frac{z}{a}\right)\right) \right\}, \quad v_z < 0 \end{aligned} \right.$$

Локальная электрическая проводимость  $\sigma$ , плотность электрического тока  $\mathbf{j}$  и электрическое поле  $\mathbf{E}$  связаны соотношениями

$$\mathbf{j} = 2e \left(\frac{m}{h}\right)^3 \int \mathbf{v} f_1 d\mathbf{v},$$

$$n = 2 \left(\frac{m}{h}\right)^3 \int f_0 d^3v = 2 \left(\frac{m}{h}\right)^3 \frac{4}{3} \pi v_F^3,$$

$$\mathbf{j} = \sigma \mathbf{E}.$$

Здесь  $e$ ,  $h$  и  $n$  — соответственно заряд электрона, постоянная Планка и концентрация электронов проводимости.

Для нахождения плотности тока  $j(z)$  перейдем в сферическую систему координат  $(v, \Theta, \Phi)$  в пространстве скоростей ( $v$ -пространство), учитывая, что функция  $f_0$  зависит только от  $v$ :

$$\begin{aligned} j(z) &= \frac{2e^2 m^2 E}{h^3} \int_0^\infty dv \int_0^{2\pi} d\Phi \tau v^3 \cos^2(\Phi) \frac{\partial f_0}{\partial v} \\ &\times \left[ \int_0^{2\pi} \sin^3(\theta) \times \left(1 + \varphi^+(v_z) \exp(-\Omega z / \cos(\theta))\right) d\theta \right. \\ &\left. + \int_{\frac{\pi}{2}}^\pi \sin^3(\theta) \left(1 + \varphi^-(v_z) \exp(\Omega(1 - z/a) \cos(\theta))\right) d\theta \right]. \end{aligned} \quad (5)$$

Здесь  $h$  — постоянная Планка,  $m$  — эффективная масса электрона,  $e$  — заряд электрона,  $\mathbf{E}$  — электрическое поле;  $v_z = \mathbf{v} \cos(\Theta) = v_F \cdot \cos(\Theta)$ .

Преобразовав выражение (5), можно получить аналитическое выражение для локальной электрической проводимости слоя как функции безразмерной комплексной частоты рассеяния электронов  $\Omega$  с коэффициентами зеркальности верхней  $q_1$  и нижней  $q_2$  поверхностей, а также безразмерного расстояния до нижней поверхности

слоя  $\xi$ :

$$\begin{aligned} \sigma &= \frac{3ne^2 a}{4mv_F \Omega} \int_0^{\frac{\pi}{2}} \sin^3 \theta \\ &\times \left[ 2 + \frac{q_1(1 - \exp(-\Omega/\cos \theta)) + q_2 \exp(-\Omega/\cos \theta)}{1 - q_1 q_2 \exp(-2\Omega/\cos \theta)} - 1 \right. \\ &\times \exp(-\Omega \xi / \cos \theta) \\ &\left. + \frac{q_2(1 - \exp(-\Omega/\cos \theta)) + q_1 \exp(-\Omega/\cos \theta)}{1 - q_1 q_2 \exp(-2\Omega/\cos \theta)} - 1 \right. \\ &\left. \times \exp(-\Omega(1 - \xi) / \cos \theta) \right] d\theta. \end{aligned} \quad (6)$$

Здесь  $\xi = z/a$ ,  $n$  — концентрация электронов проводимости.

Сделаем подстановку вида  $t = \cos(\theta)$  и введем дополнительные обозначения

$$\lambda = \frac{1}{1 - i\omega\tau} = \frac{x}{x - iy}.$$

Тогда (6) будет иметь вид

$$\begin{aligned} \Sigma &= \frac{3}{4} \lambda \int_0^1 (t - t^2) \\ &\times \left[ 2 + \left[ \frac{q_1(1 - \exp(-(x - iy)/t)) + q_2 \exp(-(x - iy)/t)}{1 - q_1 q_2 \exp(-2(x - iy)/t)} - 1 \right. \right. \\ &\times \exp(-(x - iy)\xi/t) \\ &\left. + \frac{q_2(1 - \exp(-(x - iy)/t)) + q_1 \exp(-(x - iy)/t)}{1 - q_1 q_2 \exp(-2(x - iy)/t)} - 1 \right. \\ &\left. \times \exp(-(x - iy)(1 - \xi)/t) \right] dt, \end{aligned} \quad (7)$$

$$\sigma = \frac{ne\tau^2}{m} a \Sigma = \sigma_0 a \Sigma.$$

Здесь  $x = a/(v_F \tau)$  — безразмерная частота объемных столкновений электронов,  $y = a\omega/v_F$  — безразмерная частота электрического поля,  $n$  — концентрация электронов проводимости,  $m$  — эффективная масса электрона.

Проанализируем выражение (7) и рассмотрим случай толстой пленки, когда ее толщина  $a$  много больше длины свободного пробега электронов  $\Lambda$ .

При  $a \gg \Lambda$ ,  $\Lambda/a \rightarrow 0$ . Тогда выражение (7) примет вид

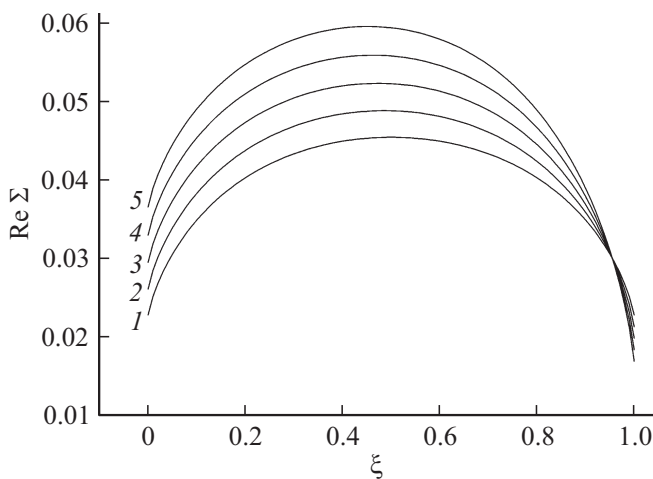
$$\sigma = a\sigma_0 \frac{1}{1 - i\omega\tau}.$$

Таким образом, мы получили классический результат для проводимости толстой пленки.

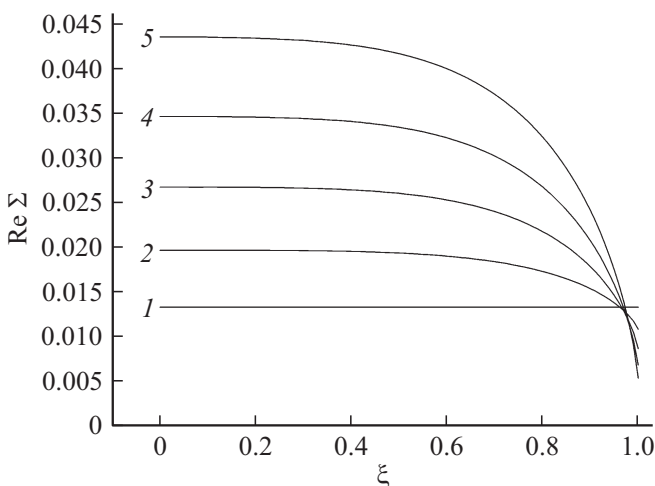
## Обсуждение результатов

Рассмотрим зависимость действительной части функции  $\Sigma$  от безразмерного расстояния до нижней поверхности слоя  $\xi$ . Уточним, что в статическом случае ( $y = 0$ ) проводимость — величина действительная.

Из рисунков 1, 3 и 5 видно, что проводимость тонкого металлического слоя с увеличением расстояния до нижней поверхности этого слоя начинает увеличиваться и достигать своего максимума, однако далее проводимость



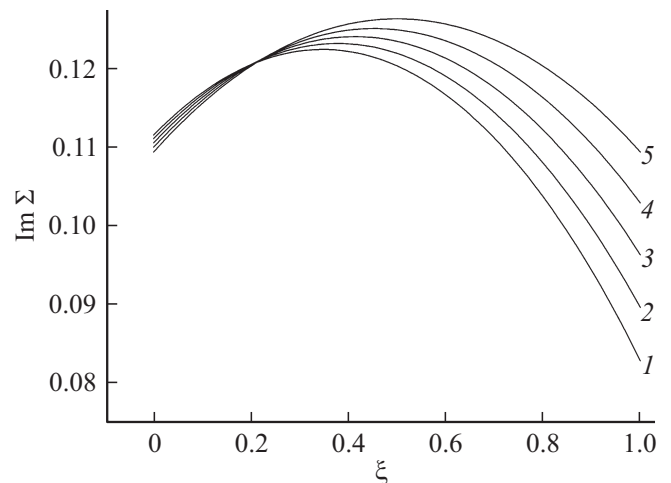
**Рис. 1.** Зависимость действительной части функции проводимости  $\Sigma$  от безразмерного расстояния до нижней поверхности слоя  $\xi$ . 1 отвечает значениям:  $x = 0.1$ ,  $y = 1$ ,  $q_1 = 0.5$ ,  $q_2 = 0.5$ ; 2 —  $x = 0.1$ ,  $y = 1$ ,  $q_1 = 0.5$ ,  $q_2 = 0.4$ ; 3 —  $x = 0.1$ ,  $y = 1$ ,  $q_1 = 0.5$ ,  $q_2 = 0.3$ ; 4 —  $x = 0.1$ ,  $y = 1$ ,  $q_1 = 0.5$ ,  $q_2 = 0.2$ ; 5 —  $x = 0.1$ ,  $y = 1$ ,  $q_1 = 0.5$ ,  $q_2 = 0.1$ .



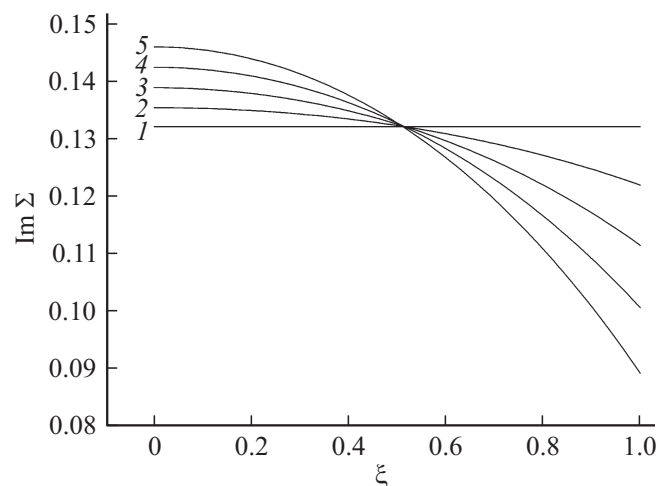
**Рис. 2.** Зависимость действительной части функции проводимости  $\Sigma$  от безразмерного расстояния до нижней поверхности слоя  $\xi$ . 1 отвечает значениям:  $x = 0.1$ ,  $y = 1$ ,  $q_1 = 1$ ,  $q_2 = 1$ ; 2 —  $x = 0.1$ ,  $y = 1$ ,  $q_1 = 1$ ,  $q_2 = 0.8$ ; 3 —  $x = 0.1$ ,  $y = 1$ ,  $q_1 = 1$ ,  $q_2 = 0.6$ ; 4 —  $x = 0.1$ ,  $y = 1$ ,  $q_1 = 1$ ,  $q_2 = 0.4$ ; 5 —  $x = 0.1$ ,  $y = 1$ ,  $q_1 = 1$ ,  $q_2 = 0.2$ .

тонкого слоя начинает уменьшаться, а варьирование коэффициентов зеркальности  $q_1$  и  $q_2$  тонкого слоя оказывает существенное влияние на его проводимость.

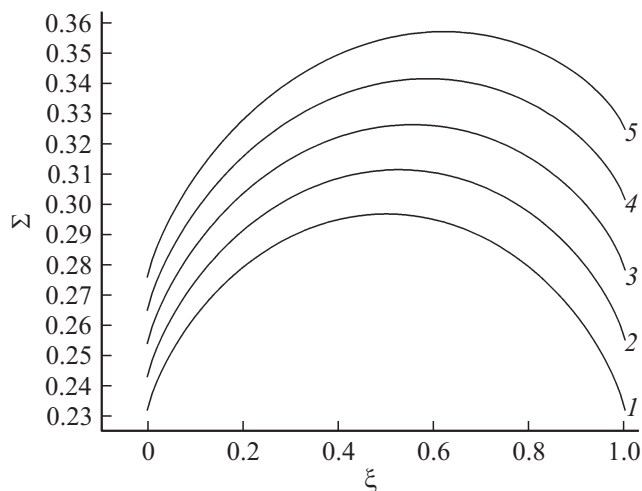
Исходя из рисунков 2 и 4 стоит отметить, что проводимость тонкого металлического слоя с увеличением расстояния до нижней поверхности этого слоя сразу начинает уменьшаться. В этом случае также варьирование коэффициентов зеркальности тонкого слоя оказывает существенное влияние на его проводимость.



**Рис. 3.** Зависимость мнимой части функции проводимости  $\Sigma$  от безразмерного расстояния до нижней поверхности слоя  $\xi$ . 1 отвечает значениям:  $x = 0.1$ ,  $y = 1$ ,  $q_1 = 0.5$ ,  $q_2 = 0.5$ ; 2 —  $x = 0.1$ ,  $y = 1$ ,  $q_1 = 0.5$ ,  $q_2 = 0.4$ ; 3 —  $x = 0.1$ ,  $y = 1$ ,  $q_1 = 0.5$ ,  $q_2 = 0.3$ ; 4 —  $x = 0.1$ ,  $y = 1$ ,  $q_1 = 0.5$ ,  $q_2 = 0.2$ ; 5 —  $x = 0.1$ ,  $y = 1$ ,  $q_1 = 0.5$ ,  $q_2 = 0.1$ .



**Рис. 4.** Зависимость мнимой части функции проводимости  $\Sigma$  от безразмерного расстояния до нижней поверхности слоя  $\xi$ . 1 отвечает значениям:  $x = 0.1$ ,  $y = 1$ ,  $q_1 = 1$ ,  $q_2 = 1$ ; 2 —  $x = 0.1$ ,  $y = 1$ ,  $q_1 = 1$ ,  $q_2 = 0.8$ ; 3 —  $x = 0.1$ ,  $y = 1$ ,  $q_1 = 1$ ,  $q_2 = 0.6$ ; 4 —  $x = 0.1$ ,  $y = 1$ ,  $q_1 = 1$ ,  $q_2 = 0.4$ ; 5 —  $x = 0.1$ ,  $y = 1$ ,  $q_1 = 1$ ,  $q_2 = 0.2$ .



**Рис. 5.** Зависимость функции проводимости  $\Sigma$  от безразмерного расстояния до нижней поверхности слоя  $\xi$ . 1 отвечает значениям:  $x = 0.1, y = 0, q_1 = 0, q_2 = 0$ ; 2 —  $x = 0.1, y = 0, q_1 = 0, q_2 = 0.1$ ; 3 —  $x = 0.1, y = 0, q_1 = 0, q_2 = 0.2$ ; 4 —  $x = 0.1, y = 0, q_1 = 0, q_2 = 0.3$ ; 5 —  $x = 0.1, y = 0, q_1 = 0, q_2 = 0.4$ .

## Заключение

Подводя итог, отметим, что различие коэффициентов зеркальности  $q_1$  и  $q_2$  тонкого слоя существенно меняет профиль плотности электрического тока, делая его асимметричным.

В чисто зеркальном случае, когда  $q_1 = q_2 = 1$ , функция проводимости  $\Sigma$  не зависит от безразмерного расстояния до нижней поверхности слоя  $\xi$ .

Доказано, что получается классический результат для проводимости толстой пленки, когда ее толщина  $a$  много больше длины свободного пробега электронов  $\Lambda$ .

## Список литературы

- [1] Каминский В.В., Степанов Н.Н., Казанин М.М., Молодых А.А., Соловьев С.М. // ФТТ. 2013. Т. 55. Вып. 5. С. 991–994.
- [2] Ващенко Е.В., Гладских И.А., Пржибельский С.Г., Хромов В.В., Вартанян Т.А. // Оптический журнал. 2013. Т. 80. № 5. С. 3–10.
- [3] Майссел Л., Глэнк Р. Технология тонких пленок. Справочник. Т. 1. М.: Мир, 1977. 768 с.
- [4] Суху Р. Магнитные тонкие пленки. М.: Мир, 1967. 423 с.
- [5] Хасс Г. Физика тонких пленок. Т. 2. М.: Мир, 1967. 343 с.
- [6] Абелес Ф. Оптические свойства металлических пленок. Физика тонких пленок / Под ред. М.К. Франкомба, Р.У. Гофмана. Т. 2. М.: Мир, 1973. 392 с.
- [7] Чонра К.Л. Электрические явления в тонких пленках / Под ред. Т.Д. Шермергора. Пер. с англ. А.Ф. Волкова, Е.И. Гиваргизова и др. М.: Мир, 1972. 432 с.
- [8] Fuchs K. // Proc. Camb. Phil. Soc. 1938. Vol. 34. P. 100–108.
- [9] Sondheimer E.H. // Advances in Physics. 2001. Vol. 50. N 6. P. 499–537.

- [10] Андреев В.Г., Вдовин В.А., Воронов П.С. // Письма в ЖТФ. 2003. Т. 29. Вып. 22. С. 68–73.
- [11] Курбацкий В.П. // ЖТФ. 2015. Т. 85. № 5. С. 106–109.
- [12] Chawla J.S., Galla D. // Appl. Phys. Lett. 2009. Vol. 94. P. 252101.
- [13] Chawla J.S., Gstrein F., O'Brien K.P., Clarke J.S., Gall D. // Phys. Rev. B. 2011. Vol. 84. P. 235423.
- [14] Utkin A.I., Yushkanov A.A. // Universal J. Appl. Mathematics. 2013. Vol. 1. N 2. P. 127–130.
- [15] Sun T., Bo Y., Warren A.P., Kumar V., Scott R., Katayun B., Coffey K.R. // J. Vac. Sci. Technol. A. 2008. Vol. 26. P. 605.
- [16] Ландау Л.Д., Лифшиц Е.М. Теоретическая физика. Физическая кинетика. М.: ФИЗМАТЛИТ, 2002. 536 с.
- [17] Бабич А.В., Погосов В.В. // ФТТ. 2013. Т. 55. № 1. С. 177–185.
- [18] Завитаев Э.В., Русаков О.В., Юшканов А.А. // ФТТ. 2012. Т. 54. Вып. 6. С. 1041–1047.
- [19] Абрикосов А.А. Основы теории металлов: Учеб. руководство. М.: Наука, 1987. С. 41.
- [20] Латышев А.В., Юшканов А.А. Аналитическое решение задачи о поведении вырожденной электронной плазмы. Гл. 10 в Энциклопедии низкотемпературной плазмы. Т. VII-I. Математическое моделирование в низкотемпературной плазме. М.: Янус-К, 2008. С. 159–177.